

## مدل سازی فرایند فراصوت لیزری در رژیم دما-ارتجاعی به روش اجزای محدود\*

## مقاله پژوهشی

فرهنگ هنرور<sup>(۲)</sup>سلمان شمسایی<sup>(۱)</sup>

**چکیده** در این مقاله، انتشار امواج فراصوتی حاصل از تابش پرتو لیزر به سطح یک جسم جامد در رژیم دما-ارتجاعی و تا آستانه تبخیر ماده با استفاده از حل کننده کد-استر (Code-Aster) به صورت دویبعدی مدل سازی شده است. برخلاف مطالعات پیشین، مسئله فراصوت لیزری در دو مرحله و با مش‌ها و گام‌های زمانی متفاوت و مورد نیاز هر یک از بخش‌های تحلیل حرارتی و مکانیکی حل شده است که این امر باعث کاهش چشمگیری در زمان محاسبات شده است. انتشار امواج فراصوتی حاصل از تابش لیزر Nd:YAG با طول موج ۵۳۲ نانومتر، خیز پالس ۵ نانوثانیه و شدت لیزر حداکثر ۱۰ میلی ژول به صورت تابعی از زمان در کل قطعه محاسبه شده و موج‌های طولی و عرضی حاصل و نیز رفتار حرارتی ماده در اثر تابش پرتو بررسی شده است. زمان انجام محاسبات برای تحلیل‌های مجزای حرارتی و مکانیکی روی رایانه‌ای که برای این کار استفاده شد، جمعاً یک ساعت و ۵۵ دقیقه بوده است؛ در حالی که در تحلیل هم‌زمان، محاسبات حداقل ۱۱ ساعت و ۲۹ دقیقه طول می‌کشد. نتایج به دست آمده با داده‌های آزمایشگاهی و عددی سایر محققان مقایسه شده است. تطابق خوب نتایج، درستی مدل سازی را تأیید می‌کند و نشان می‌دهد که کد موجود، رفتار حرارتی و مکانیکی فراصوت لیزری را به درستی و با سرعتی بیشتر از روش‌های پیشین محاسبه کرده است.

**واژه‌های کلیدی:** لیزر، فراصوت، اجزای محدود، کد-استر، ارزیابی غیرمخرب.

## مقدمه

فرسایشی استفاده می‌شود. چنانچه قدرت لیزر پایین‌تر از آستانه تبخیر ماده باشد، رژیم دما-ارتجاعی و در صورتی که قدرت لیزر به اندازه‌ای باشد که برداشت ماده را باعث شود، رژیم فرسایشی خواهد بود. مزیت رژیم فرسایشی نسبت به رژیم دما-ارتجاعی، تولید سیگنال‌های قوی‌تر و امکان بازرسی قطعات ضخیم، قطعات با دمای بالا و همچنین به کارگیری روش در شرایط و محیط‌هایی است که تضعیف موج فراصوتی زیاد است. اما باتوجه به آسیب جزئی سطح در رژیم فرسایشی، در بعضی کاربردها استفاده از آن پذیرفتنی نخواهد بود. در فراصوت لیزری معمولاً از لیزرهای CO<sub>2</sub> برای تولید موج استفاده می‌شود و امواج تولید شده اغلب به وسیله اینترفرومتر فابری-پرو (Fabry-Perot) دریافت می‌شوند [2]. لیزرهای دیگری همچون Nd:YAG، Excimer و به میزان کمتری Nd-glass نیز با طول

آزمون فراصوت لیزری یکی از انواع آزمون‌های غیرمخرب فراصوتی است که از تابش پرتو لیزر برای تولید انواع موج‌های طولی، عرضی، سطحی و... همچنین دریافت آن‌ها برای بازرسی قطعات استفاده می‌کند. در فراصوت لیزری، برخلاف روش‌های سنتی، بازرسی بدون استفاده از ماده واسط و به صورت غیرتماسی انجام می‌شود. در سال‌های گذشته این روش پیشرفته آزمون فراصوتی کاربردهای متنوعی در صنعت یافته است؛ مخصوصاً در بازرسی کامپوزیت‌های زمینه پلیمری در صنایع هوافضا، ضخامت‌سنجی لوله‌های داغ فولادی در حین تولید و اندازه‌گیری و تعیین خصوصیات لایه‌های نازک در صنایع میکروالکترونیک [1]. به طور کلی، از فراصوت لیزری در یکی از رژیم دما-ارتجاعی یا

DOI: 10.22067/jacsm.2021.56657.0

\* تاریخ دریافت مقاله ۹۹/۱/۳۱ و تاریخ پذیرش آن ۰۰/۲/۱۱ می‌باشد.

(۱) دانشجوی دکتری، دانشکده مهندسی مکانیک، دانشگاه صنعتی خواجه نصیرالدین طوسی، تهران، ایران.

(۲) نویسنده مسئول: استاد، دانشکده مهندسی مکانیک، دانشگاه صنعتی خواجه نصیرالدین طوسی، تهران، ایران.

Email: honarvar@kntu.ac.ir

چنو[10] مدلی تحلیلی را برای بررسی شکل امواج ریلی تولیدشده با استفاده از منبع خطی لیزر در رژیم دما- ارتجاعی در یک قطعه همسانگرد از جنس آلومینیم توسعه دادند. آن‌ها شکل لیزر را به صورت گوسی فرض کردند و یک رابطه تحلیلی برای جابه‌جایی نرمال در منطقه نزدیک و دور از منبع خطی لیزر ارائه و آن را با نتایج آزمایشگاهی مقایسه کردند. کلارنک و همکاران[11] برای شناسایی شکاف‌های کوچک سطحی در یک سیلندر فولادی به قطر ۲۵ میلی‌متر، از روش فراصوت لیزری استفاده کردند. آن‌ها با استفاده از امواج ریلی ایجادشده با لیزر روی سطح، توانستند ترک‌هایی را با حداقل عمق ۰/۸ میلی‌متر که در مقایسه با طول موج ریلی (۲ میلی‌متر) بسیار کوچک‌تر بود، شناسایی کنند. استراتوداکی و همکاران[2] لیزر Nd:YAG، CO<sub>2</sub> و XeCl را برای تولید امواج فراصوتی در اپوکسی رزین در هر ۲ رژیم فرسایشی و دما-ارتجاعی به صورت تجربی مقایسه و مقدار جذب انرژی و دامنه امواج را ارزیابی کردند. کارابوتو و همکاران[12] از روش فراصوت لیزری برای تعیین اندازه تنش‌های پسماند در جوش استفاده کردند. آن‌ها با استفاده از یک لیزر Nd:YAG با انرژی پالس ۱۰۰ میکروژول و مدت پالس ۷ نانوثانیه ابتدا سرعت صوت را در یک نمونه بدون جوش اندازه گرفتند و سپس با مقایسه مقادیر اولیه و مقادیر اندازه‌گیری‌شده سرعت صوت در نمونه جوش‌داده‌شده، میزان تنش‌های پسماند را محاسبه کردند. وو و همکاران[13] برای دریافت امواج فراصوتی تولیدشده با لیزر از تراگذارهای پیزوالکتریک یکپارچه استفاده کردند. آن‌ها با استفاده از تکنیک اسپری سول-ژل (Sol-gel) فیلم‌های پیزوالکتریک، به ضخامت تقریبی ۵۰ میکرومتر، ساختند و مستقیم روی سطح قطعات آزمایش‌شده از جمله فولاد و آلومینیم قرار دادند و توانایی این تراگذارهای یکپارچه برای شرایط مختلف تولید پالس لیزر روی سطوح منحنی در دماهای بالا (حداکثر ۴۰۰ درجه سانتی‌گراد) را نشان دادند. پی و همکاران[14] با استفاده از روش سایه، به

موج‌های مختلف برای ارزیابی غیرمخرب استفاده می‌شوند. ضریب جذب سطح و دامنه موج‌های فراصوتی تولیدشده با توجه به جنس نمونه و طول موج لیزرهای یادشده متفاوت است.

از اوایل دهه ۱۹۶۰، به استفاده از لیزر برای تولید امواج فراصوتی توجه شد[3]. لدبتر و مولدر[4] با تاباندن یک لیزر پالسی Nd-glass به یک قطعه آلومینیمی نشان دادند که امواج طولی، عرضی و ریلی هم‌زمان در قطعه تشکیل می‌شوند. آن‌ها سپس سرعت این امواج را اندازه‌گیری و با مقادیری که با استفاده از سایر روش‌ها به دست آمده بود، مقایسه کردند. ویرت[5] به بررسی طیف فرکانسی امواج فراصوتی حاصل از لیزر پرداخت و با مقایسه با مدل تئوری، درستی نتایج خود را ارزیابی کرد. رود[6] روش فراصوت لیزری را با هر ۲ مکانیزم دما-ارتجاعی و فرسایشی را مطالعه و برای دریافت امواج تولیدشده از روش‌های مختلف اینترفرومتری استفاده کرد. ایندو و همکاران[7] از یک لیزر Nd:YAG برای تولید امواج فراصوتی در یک نمونه آلومینیمی و از یک لیزر He-Ne برای دریافت امواج و اندازه‌گیری میزان جابه‌جایی سطح استفاده کردند. آن‌ها به کمک این روش توانستند هم عرض و هم عمق عیوب را اندازه‌گیری کنند. علاوه بر این، تحلیل داده‌ها نشان داد که این روش برای شناسایی عیوب تا عمق ۴ میلی‌متر زیر سطح مناسب و عملی است. هاجینز و همکاران[8] فراصوت لیزری را برای بازرسی مواد متخلخل به کار بردند. آن‌ها سرعت انتشار امواج طولی و عرضی تولیدشده با لیزر در ماده متخلخلی از جنس سیلیس را پیش‌بینی کردند و میزان تضعیف موج را برحسب فرکانس بررسی و نتایج خود را با آزمایش‌های عملی مقایسه کردند. دوه‌رست و شان[9] از لیزری به قدرت ۲ مگاوات برای تولید امواج طولی در قطعات آلومینیمی استفاده کردند. آن‌ها عیوبی مصنوعی در قطعات آلومینیمی ایجاد کردند و با استفاده از اینترفرومتر فابری-پرو و به روش عبوری، عیوب سوراخ و لایه‌لایه‌شدگی را بررسی کردند. رویر و

در این مقاله، فراصوت لیزری در رژیم دما-ارتجاعی (تا آستانه تبخیر ماده) به روش اجزای محدود مدل‌سازی و رفتار حرارتی ماده در اثر تابش پرتو لیزر و همچنین نحوه انتشار موج فراصوتی ایجادشده بررسی می‌شود. شبیه‌سازی به صورت دوبعدی و برای یک لیزر Nd:YAG با طول موج ۱۰۳۲ نانومتر و خیز پالس ۵ نانوثانیه و شدت حداکثر ۱۰ میلی‌ژول بر روی ماده‌ای از جنس تنگستن تحلیل می‌شود. باتوجه به زمان زیاد محاسبات در فرایند فراصوت لیزری، مخصوصاً در بازرسی قطعات ضخیم و باتوجه به یکسان نبودن اجزا و گام‌زمانی مورد نیاز برای حل بخش‌های حرارتی و مکانیکی مسئله، قسمت حرارتی و مکانیکی به‌طور مجزا مدل‌سازی و تأثیر آن در کاهش زمان محاسبات بررسی می‌شود. ابتدا اندازه اجزا و گام‌زمانی مورد نیاز برای حل مسئله حرارتی با تکرار تحلیل به دست می‌آید و سپس نتایج به دست آمده به عنوان بار ورودی در تحلیل مکانیکی به کار می‌رود و نتیجه با مقایسه با دیگر نتایج عددی و آزمایشگاهی صحت‌سنجی می‌شود. علاوه بر این، قابلیت برنامه محاسباتی کد-استر در مدل‌سازی فرایند فراصوت لیزری در رژیم دما-ارتجاعی نیز ارزیابی می‌شود.

### تولید فراصوت لیزری در رژیم دما-ارتجاعی

هنگامی که پرتو لیزر به سطح یک جسم همسانگرد برخورد می‌کند، مقداری از انرژی الکترومغناطیس پرتو از طریق سطح جذب و سطح جسم گرم می‌شود. این انتقال حرارت با رابطه زیر بیان می‌شود [23]:

$$\rho C_p \frac{\partial T(x, y, t)}{\partial t} = \nabla \cdot (k \nabla T(x, y, t)) + Q \quad (1)$$

که در آن  $T(x, y, t)$  توزیع دما در زمان  $t$ ،  $y$  راستای عمق و  $x$  امتداد طول قطعه است.  $\rho$ ،  $C_p$  و  $k$  به ترتیب ظرفیت گرمای ویژه، چگالی و رسانندگی گرمایی در فشار ثابت هستند و  $Q$  چگالی انرژی منبع حرارتی است. از آنجا

ارزیابی ترک پرداختند و موج فراصوتی تولیدشده با لیزر را با روش اجزای محدود مدل‌سازی و نتایج عددی خود را با آزمایش‌های عملی صحت‌سنجی کردند. ریشه و همکاران [15] تأثیر تغییر فاز و تشکیل حوضچه مذاب را روی امواج برشی حاصل از لیزر بررسی کردند.

اوری و همکاران [16] تولید امواج دما-ارتجاعی فراصوتی در ورق فلزی از جنس تنگستن را به روش مختلف، یکی براساس توابع الاستودینامیک گرین و دیگری با استفاده از روش اجزای محدود، حل کردند. آن‌ها به تدریج توان لیزر را تا آستانه تبخیر افزایش دادند و گرادیان دمایی، جابه‌جایی، تنش‌های سطحی، عمق حوضچه مذاب و همچنین تأخیر زمانی موج برشی را در حالت مذاب پیش‌بینی کردند. ونگ و همکاران [17] انتشار امواج لمب (Lamb) تولیدشده با لیزر در صفحات کریستالی را به صورت دوبعدی مدل‌سازی کردند. کیو و لاو [18] حساسیت تکنیک فراصوت لیزری در تشخیص عیوب نزدیک به سطح، مخصوصاً در بتن تقویت‌شده با چسباندن پلیمرهای مسلح‌شده با الیاف کربن را به صورت آزمایشگاهی بررسی کردند. رویینگ و همکاران [19] به بازرسی قطعات داغ با استفاده از فراصوت لیزری به صورت عملی و همچنین با استفاده از روش اجزای محدود پرداختند و دریافتند که سرعت و دامنه امواج سطحی با افزایش دما کم می‌شود. کزالینو و همکاران [20] با استفاده از لیزر پالسی Nd:YAG سخت‌سازی سطح فولاد AISI 4130 را به صورت عددی و تجربی بررسی کردند. مرادی و همکاران [21] به بررسی تأثیر پارامترهای فرایند برش کاری با لیزر پیوسته  $CO_2$  با استفاده از روش آماری تحلیل واریانس بر روی ورقی از جنس پلی‌کربنات پرداختند. جی و همکاران [22] از روشی مبتنی بر امواج حجمی فراصوت لیزری، برای تشخیص عیب لایه‌لایه‌شدگی در کامپوزیت‌های دوفلزی استفاده کردند و با آزمایش‌های عملی نتایج روش اجزای محدود را قوت بخشیدند.

کلاسیک حرارت را می‌توان به صورت زیر نوشت [26,27]:

$$[K_T]\{T\} + [C_p]\{\dot{T}\} = \{p_1\} + \{p_2\} \quad (5)$$

که در آن  $\{T\}$  دما و  $\{\dot{T}\}$  نرخ افزایش دماست. برای انتشار موج، با صرف نظر از میرایی، معادله اجزای محدود به صورت زیر است [۲۶ و ۲۷]:

$$[M]\{\ddot{U}\} + [K]\{U\} = \{F_{ext}\} \quad (6)$$

که در آن  $[M]$  ماتریس جرم،  $[K]$  ماتریس سفتی،  $\{U\}$  بردار جابه‌جایی،  $\{\ddot{U}\}$  بردار شتاب و  $\{F_{ext}\}$  بردار نیروی خارجی است. در حالت دما-ارتجاعی، بردار نیروی خارجی برای یک جزء برابر است با [۲۶ و ۲۷]:

$$\{F_{ext}\} = \int_{V_e} [B]^T [D] \{\epsilon_0\} dV \quad (7)$$

که در آن  $\{\epsilon_0\}$  بردار کرنش حرارتی،  $[B]^T$  ترانهاده ماتریس کرنش-تغییر مکان و  $[D]$  ماتریس ماده است.

### شبیه‌سازی عددی

برای انجام محاسبات به روش اجزای محدود و عملیات پیش‌پردازش و پس‌پردازش از نرم‌افزار سالومه‌مکا (Salome-Meca) استفاده شد. سالومه‌مکا نرم‌افزار یکپارچه متن‌بازی است که از پلت‌فرم سالومه برای عملیات پیش‌پردازش و پس‌پردازش و از حل‌کننده کد-استر برای محاسبات عددی بهره می‌گیرد. کد-استر فرایندهای کوپل حرارتی مکانیکی را به صورت مجزا حل می‌کند، بدین ترتیب که ابتدا باید محاسبات مربوط به قسمت حرارتی مسئله انجام شود و سپس خروجی حاصل از مرحله اول در تحلیل مکانیکی بارگذاری شود. مزیت تحلیل مجزای حرارتی و مکانیکی هنگامی مطلوب است که مش مورد نیاز و گام‌زمانی برای حل مسئله

که پالس لیزر، به جای منبع حرارتی معمولاً به صورت شار حرارتی عمل می‌کند ( $Q=0$ )، معادله (۱) می‌تواند به صورت زیر ساده‌سازی شود [23,24]:

$$\rho C_p \frac{\partial T(x, y, t)}{\partial t} = \frac{\partial}{\partial x} (k \frac{\partial T(x, y, t)}{\partial x}) + \frac{\partial}{\partial y} (k \frac{\partial T(x, y, t)}{\partial y}) \quad (2)$$

شرایط مرزی نیز به صورت زیر است [23,24]:

$$-k \frac{\partial T(x, y, t)}{\partial y} \Big|_{y=h} = E(1-R)f(x)g(t),$$

$$\frac{\partial T(x, y, t)}{\partial y} \Big|_{y=0} = 0 \quad (3)$$

که در آن  $E$  انرژی پالس لیزر برحسب ژول،  $R$  ضریب انعکاس سطح و  $f(x)$  و  $g(t)$  به ترتیب توزیع فضایی و زمانی پرتو لیزر هستند.  $y=h$  متناظر با سطح رویی و  $y=0$  متناظر با سطح زیرین و  $h$  ضخامت قطعه است.

انرژی جذب شده لیزر سبب انبساط آنی سطح و در نتیجه ایجاد تنش و متعاقب آن منجر به جابه‌جایی سطح و تولید امواج فراصوتی می‌شود. معادله جابه‌جایی عبارت است از [24,25]:

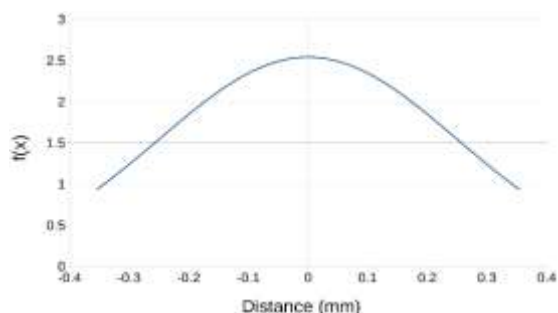
$$(\lambda + 2\mu)\nabla(\nabla U) - \mu\nabla \times \nabla \times U -$$

$$(3\lambda + 2\mu)\alpha \nabla T(x, y, t) = \rho \frac{\partial^2 U}{\partial t^2} \quad (4)$$

که در آن  $U$  جابه‌جایی وابسته به زمان،  $\mu$  و  $\lambda$  ثوابت لامه، و  $\alpha$  ضریب انبساط حرارتی خطی است.

**مدل‌سازی مسئله به روش اجزای محدود.** با در نظر گرفتن ارتباط مستقیم بین جابه‌جایی گره‌ها  $\{U\}$  و حرارت  $\{T\}$  و با توجه به ماتریس ظرفیت گرمایی ویژه  $[C_p]$ ، ماتریس رسانندگی گرمایی  $[K_T]$ ، بردار شار حرارتی  $\{p_1\}$  و بردار منبع حرارتی  $\{p_2\}$ ، معادله

که در آن  $r_0$  شعاع لکه لیزر است. توزیع فضایی حاصله برای لکه لیزری با شعاع  $0.354$  میلی‌متر در شکل ۱ نشان داده شده است.

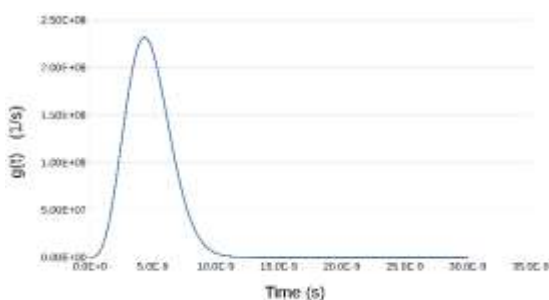


شکل ۱ توزیع مکانی پالس لیزر با شعاع لکه  $0.354$  میلی‌متر

علاوه بر توزیع مکانی پرتو بر روی سطح، شکل پالس لیزر به صورت تابعی از زمان نیز باید مدل شود. معادلات متفاوتی برای مدل‌سازی شکل زمانی پرتو لیزر ارائه شده است. یکی از روابطی که بدین منظور می‌توان استفاده کرد، عبارت است از [29,31]:

$$g(t) = \frac{8t^3}{t_0^4} \exp\left(\frac{-2t^2}{t_0^2}\right) \quad (10)$$

که در آن  $t_0$  زمان خیز پالس لیزر است. توزیع زمانی به دست آمده از معادله (۱۰) برای خیز پالس  $5$  نانوثانیه در شکل ۲ نشان داده شده است.



شکل ۲ توزیع زمانی پالس لیزر با خیز پالس  $5$  نانوثانیه

تحلیل حرارتی و تحلیل مکانیکی متفاوت باشد. در این صورت، هرکدام از تحلیل‌ها می‌تواند با مش مجزا و گام‌زمانی متفاوت محاسبه شود تا زمان محاسبات کم شود. حل مسئله با کد-استر این مزیت را نیز دارد که دستورات کد-استر که کاربر برای حل مسئله می‌نویسد، یک کد به زبان پایتون است و کاربر می‌تواند محاسبات ریاضی، دستورات شرطی پایتون، ایجاد حلقه و... را به راحتی در تحلیل خود بگنجانند.

برای حل مسئله انتشار موج فراصوتی در اثر تابش پرتو لیزر، محاسبات به ۲ قسمت حرارتی و مکانیکی تقسیم و برخلاف روش معمول از مش متفاوتی برای این ۲ تحلیل استفاده شد. در قسمت اول، تابش پالس لیزر به سطح جسم مدل‌سازی و توزیع دما در جسم به صورت تابعی از زمان محاسبه شد. در قسمت دوم، نتایج تحلیل حرارتی به صورت بار ورودی در تحلیل مکانیکی استفاده شد و جابه‌جایی ذرات در اثر انبساط آبی سطح و تشکیل موج فراصوتی به صورت دینامیکی بررسی شد.

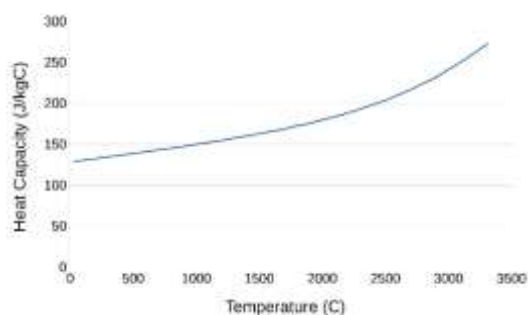
برای فراهم کردن شرایط مقایسه نتایج تحلیل حرارتی با مرجع [16] از یک لیزر Nd:YAG با خیز پالس  $5$  نانوثانیه و شعاع لکه  $0.354$  میلی‌متر برای محاسبات اجزای محدود استفاده شد. موج لیزر به صورت گوسی فرض و توزیع حرارت منبع لیزر روی سطح مطابق معادله زیر مدل شد [24,28,29]:

$$q = E(1 - R) f(x) g(t) \quad (8)$$

برای مدل‌سازی توزیع مکانی لیزر روابط مختلفی در تحقیقات گذشته گزارش شده است. رابطه زیر برای مدل‌سازی توزیع گوسی پرتو لیزر استفاده شد [14,16,24,30]:

$$f(x) = \frac{1}{\pi r_0^2} \exp\left(\frac{-x^2}{r_0^2}\right) \quad (9)$$

گرمای ویژه در دماهای بالاتر از دمای ذوب، مقدار آن در ناحیه ذوب مستقل از حرارت و ثابت فرض شد. با شدت لیزری برابر با  $10^6$  میلی ژول، دمای سطح تا مرز تبخیر ماده بالا می‌رود. برای ساده‌سازی، گرمای نهان تبخیر در محاسبات لحاظ نشد. همچنین رسانندگی گرمایی مستقل از دما فرض شد.



شکل ۳ تغییرات ظرفیت گرمایی ویژه وابسته به دما برای تنگستن [32]

محاسبات به صورت دوبعدی بر روی قطعه‌ای از جنس تنگستن به ابعاد  $3/12 \times 8$  میلی متر مربع انجام و به دلیل تقارن مسئله در راستای محور طولی، فقط نیمی از قطعه مدل شد.

اندازه اجزا در تحلیل اجزای محدود از اهمیت خاصی برخوردار است و هم‌گرایی نتایج هنگامی حاصل می‌شود که اندازه اجزا به اندازه کافی کوچک باشد. از طرف دیگر، بیش از اندازه کوچک بودن اجزا نیز زمان محاسبات را افزایش می‌دهد. بنابراین، اندازه مورد نیاز اجزا در منطقه تابش پرتو و منطقه دور از لیزر، باید محاسبه شود. به طور کلی حداکثر اندازه اجزا باید به گونه ای انتخاب شود که دست کم  $10^6$  گره در یک طول موج داشته باشیم [30]. حداکثر اندازه اجزا برابر است با [33]:

$$L_e \leq \frac{1}{10} \frac{C}{f_{\max}} \quad (13)$$

که در آن  $L_e$  اندازه جزء،  $C$  حداکثر سرعت موج در ماده و  $f_{\max}$  حداکثر فرکانس موج فرا صوتی است که از

برای تعریف رفتار حرارتی هنگام ذوب ماده و تغییرات انرژی داخلی سیستم و همچنین در نظر گرفتن گرمای نهان ذوب، معادله زیر استفاده شد [16]:

$$C_p(T) = C_0 + L_f f(T) \quad (11)$$

که در آن  $C_0$  ظرفیت گرمایی ویژه در دمای اتاق،  $L_f$  گرمای نهان ذوب و  $f(T)$  برابر است با [16]:

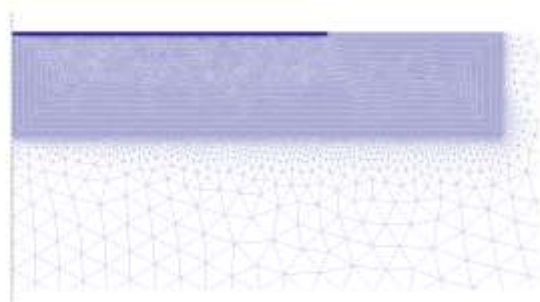
$$f(T) = \begin{cases} \{1 + \cos(\pi(T-T_m)/100)\}/200, & |T-T_m| < 100^\circ\text{C} \\ 0, & |T-T_m| > 100^\circ\text{C} \end{cases}$$

در معادله (۱۲)  $T_m$  نقطه ذوب ماده است. ماده به کاررفته در این تحقیق تنگستن است که مشخصات آن در جدول ۱ آمده است.

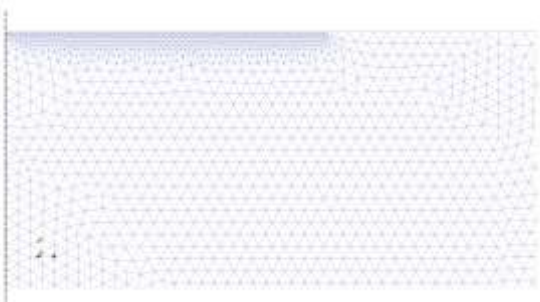
جدول ۱ مشخصات حرارتی و مکانیکی تنگستن [16]

۴۰۸	Y (GPa)	مدول یانگ
۰/۲۸	$\nu$	ضریب پواسون
۱۹۳۰۰	$\rho$ (kg/m <sup>3</sup> )	چگالی
$4/3 \times 10^{-6}$	$\alpha$ (C <sup>-1</sup> )	ضریب انبساط حرارتی خطی
۵۵۷۰	$c_L$ (m/s)	سرعت موج طولی
۳۰۸۹	$c_T$ (m/s)	سرعت موج عرضی
۳۴۱۰	°C	نقطه ذوب
۱۸۴۰۰۰	J/kg	گرمای نهان ذوب
۱۷۳	W/m°C	رسانندگی گرمایی

ظرفیت گرمایی ویژه به صورت وابسته به زمان در نظر گرفته شد که تغییرات آن مطابق شکل ۳ است [32]. به علت در دسترس نبودن مقادیر ظرفیت



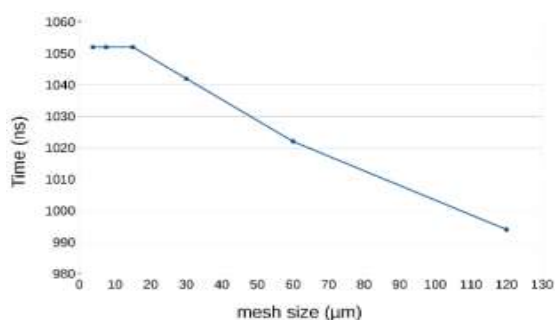
الف)



ب)

شکل ۵ مش‌بندی مدل در منطقه تابش لیزر مربوط به: الف) تحلیل حرارتی، ب) تحلیل مکانیکی

تحلیل مکانیکی به چنین مش‌ریزی‌ای نیاز ندارد. همان‌طور که در شکل ۶ مشاهده می‌شود، با کاهش اندازه اجزا تا ۱۵ میکرومتر، زمان رسیدن موج عرضی به کف قطعه به تدریج افزایش می‌یابد و پس از آن ثابت می‌ماند. بنابراین از اجزایی به اندازه ۱۵ میکرومتر برای انجام تحلیل مکانیکی استفاده شد. تعداد گره‌ها در تحلیل مکانیکی ۱۱۶۰۴۰ گره است. قسمتی از مش استفاده‌شده در این تحلیل در شکل ۵-ب نشان داده شده است.

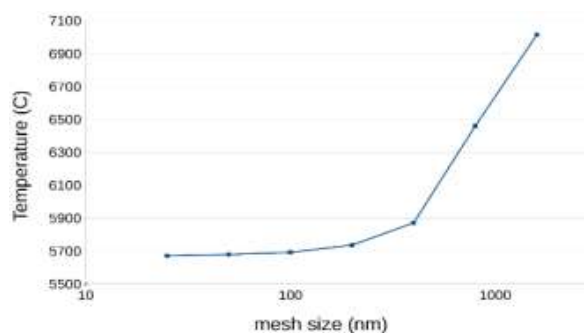


شکل ۶ رابطه اندازه اجزا با زمان رسیدن موج عرضی به کف قطعه در تحلیل مکانیکی

معادله زیر به دست می‌آید [33]:

$$f_{\max} = \frac{2\sqrt{2}C}{\pi r_0} \quad (14)$$

با استفاده از معادلات (۱۳) و (۱۴)، اندازه اجزا باید کوچک‌تر یا مساوی ۳۹/۳ میکرومتر باشد و هر چقدر چگالی انرژی لیزر بیشتر شود، این مقدار کمتر خواهد شد. مقدار مورد نیاز با تکرار تحلیل و کاهش تدریجی اجزا به دست خواهد آمد. مقدار محاسبه‌شده ۳۹/۳ میکرومتر برای منطقه دور از لیزر بود، اما با توجه به چگالی زیاد انرژی لیزر (آستانه تبخیر ماده)، اجزای منطقه حرارت‌دیده باید به اندازه‌ای کوچک باشند که نتایج دمایی، دقت و هم‌گرایی کافی را داشته باشند. بنابراین، تحلیل مدنظر چندبار با اندازه اجزای کوچک‌تر تکرار شد [34,35] و نتایج هنگامی هم‌گرا شدند که اندازه اجزای منطقه نزدیک به لیزر به ۱۰۰ نانومتر رسید (شکل ۴). برای منطقه دور از لیزر نیز تحلیل چندین بار تکرار شد و هر بار، امان‌های منطقه دور کمی بزرگ‌تر شدند و مشاهده شد که با اجزایی با اندازه ۳۰ میکرومتر یا کمتر، نتایج تغییری نمی‌کند. تعداد کل گره‌ها در تحلیل حرارتی ۲۲۲۱۵۹ گره است. شکل ۵-الف قسمتی از مش مربوط به تحلیل حرارتی را که در منطقه نزدیک به لیزر قرار دارد، نشان می‌دهد.



شکل ۴ رابطه اندازه اجزا در منطقه نزدیک به لیزر با دما برای نقطه ای در بالای سطح و در مرکز تابش پرتو لیزر با توان ۱۰ میلی‌ژول و خیزپالس ۵ نانوثانیه

پایان رسید. اختلاف نتایج در حل مکانیکی ۰/۶ درصد و در تحلیل حرارتی فقط ۰/۱ درصد بود. در مطالعات قبلی محققان دیگر، تحلیل حرارتی و مکانیکی برای حل مسئله فراصوت لیزری، به صورت هم‌زمان و در یک مرحله گزارش شده است که این امر نشان‌دهنده آن است که آن‌ها از گام‌زمانی و مش یکسانی در انجام محاسبات استفاده کرده‌اند [14, 23-27, 29-32, 33]. با توجه به نتایج به دست آمده از تحلیل فرایند فراصوت لیزری، مشخص شد که مش و گام‌زمانی مورد نیاز برای انجام هر یک از ۲ مدل حرارتی و مکانیکی تفاوت زیادی با یکدیگر دارند. ابعاد قطعه در تحقیق حاضر بسیار کوچک است (۴ × ۳/۱۲ میلی‌متر) و هنگامی که قرار باشد مدلی با ابعادی بزرگ‌تر تحلیل شود، زمان محاسبات بسیار حائز اهمیت خواهد بود. بنابراین فراصوت لیزری و فرایندهای مشابه باید در ۲ مرحله و با گام‌زمانی و مش متفاوت و مورد نیاز تحلیل شوند تا با کاهش زمان محاسبات، استفاده از روش اجزای محدود برای حل مسئله، از نظر اقتصادی نیز پذیرفتنی باشد.

### بحث و نتایج

با انجام مدل‌سازی، چگونگی رفتار حرارتی ماده و انتشار موج فراصوتی حاصل از تابش پرتو لیزر Nd:YAG با طول موج ۵۳۲ نانومتر، خیزپالس ۵ نانوثانیه و شعاع لکه ۰/۳۵۴ میلی‌متر روی قطعه‌ای از جنس تنگستن به دست آمد. با شلیک لیزر، دمای سطح در کسری از ثانیه افزایش چشمگیری می‌یابد. این شوک حرارتی، انبساط آبی سطح و در نتیجه تولید موجی الاستیک با فرکانسی در محدوده فراصوت را در پی دارد. در فراصوت لیزری با یک‌بار شلیک پرتو لیزر، انواع موج‌های طولی، عرضی، ریلی و پیشرو در قطعه تشکیل می‌شود و براساس نوع عیب موجود در قطعه، یک یا چند نوع از این امواج می‌تواند برای بازرسی قطعه استفاده شود. شکل ۷ موج حاصل از شلیک پرتو لیزر با مشخصات ذکر شده و توان

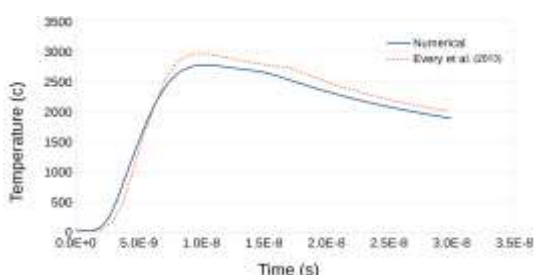
عامل مؤثر دیگر در زمان انجام محاسبات و همچنین دقت محاسبات اجزای محدود، اندازه گام‌زمانی برای حل مسئله است. حداکثر اندازه گام‌زمانی از رابطه زیر به دست می‌آید [۳۳]:

$$\Delta t \leq \frac{L_e}{C\sqrt{3}} \quad (15)$$

با توجه به سرعت موج طولی در تنگستن (۵۵۷۰ m/s) و مقدار  $L_e$  محاسبه شده از رابطه (۱۳)، گام‌زمانی ۰/۰۷ نانوثانیه برای حل مسئله به دست آمد. گام‌زمانی محاسبه شده، برای توان‌های پایین لیزر مناسب است. هرچقدر چگالی انرژی لیزر بیشتر شود، گام‌زمانی کوچک‌تری برای حل مسئله لازم خواهد بود. برای لیزر ۳/۹ میلی‌ژول، با گام‌زمانی ۱۰۰ پیکوثانیه، نتایج هم‌گرا شدند. محاسبات مربوط به لیزر ۱۰ میلی‌ژول با گام‌زمانی ۵۰ پیکوثانیه انجام شد. مرحله خنک‌کاری با گام‌زمانی بزرگ‌تر از مقدار محاسبه شده تکرار شد و تغییری در نتایج مشاهده نشد. بنابراین، از گام‌زمانی ۱۱/۵ نانوثانیه برای این مرحله استفاده شد. تحلیل مکانیکی به صورت صریح انجام و از گام‌زمانی ۲ نانوثانیه برای محاسبات مربوط به جابه‌جایی گره‌ها و تشکیل موج فراصوتی استفاده شد. انتشار موج فراصوتی تا ۱۱۸۰ نانوثانیه پس از شلیک لیزر مدل‌سازی شد. زمان تحلیل حرارتی و مکانیکی با سیستم عامل متن‌باز اوبونتو ۱۶/۰۴ (توزیعی از لینوکس بر پایه دیبیا)، پردازنده core i7-6700HQ 2.6 GHz × 8 و حافظه رم ۱۶ GB به ترتیب ۴۷ و ۶۸ دقیقه بود. استفاده از مش متفاوت و همچنین گام‌زمانی مجزا برای هر یک از ۲ تحلیل حرارتی و مکانیکی باعث شد مسئله انتشار موج در زمان کوتاهی قابل مدل‌سازی باشد. برای مقایسه، یک‌بار دیگر محاسبات حرارتی و مکانیکی با گام‌زمانی و مش یکسان مورد نیاز برای این ۲ تحلیل تکرار و مشاهده شد که زمان تحلیل چندین برابر حالت قبل خواهد بود. حل حرارتی ۲ ساعت و ۷ دقیقه طول کشید و تحلیل مکانیکی پس از ۱۱ ساعت و ۲۹ دقیقه به



با تابش پرتو لیزر، دما به سرعت افزایش می‌یابد. بعد از ۵/۷ نانوثانیه دمای سطح به حداکثر مقدار خود می‌رسد و پس از آن به تدریج کاهش می‌یابد. شکستگی منحنی در شکل ۸ در زمان تقریبی ۳ نانوثانیه، به دلیل تغییر فاز از جامد به مایع و همچنین اثرات گرمای نهان ذوب است. درحقیقت در این زمان، انرژی جذب‌شده لیزر دمای جسم را تغییر نمی‌دهد و این انرژی به طور کامل صرف تغییر فاز از جامد به مایع می‌شود. اما باتوجه به چگالی بالای انرژی لیزر و زمان خیزپالس کوتاه لیزر (۵ نانوثانیه)، تغییر فاز از جامد به مایع بسیار سریع اتفاق می‌افتد و به سستی در شکل ۸ قابل مشاهده است. شکستگی دوم نمودار هنگام سردشدن قطعه که در زمان‌های بین ۱۱ تا ۴ نانوثانیه مشاهده می‌شود، مربوط به تغییر فاز از مایع به جامد است. همان‌طور که در شکل ۸ دیده می‌شود، نتایج به دست آمده تطابق خوبی با نتایج مرجع [۱۶] دارد.



شکل ۹ تغییرات دما با زمان برای نقطه‌ای در عمق ۴۷۶ نانومتر و در مرکز تابش پرتو لیزر با توان ۱۰ میلی‌ژول و خیزپالس ۵ نانوثانیه

تغییرات درجه حرارت در عمق ۴۷۶ نانومتر زیر سطح در شکل ۹ آورده شده و با نتایج مرجع [۱۶] که مربوط به عمق ۴۸۰ نانومتر است، مقایسه شده است (باتوجه به اندازه متفاوت مش‌ها و موقعیت گره‌ها در این تحقیق، نزدیک‌ترین گره به عمق ۴۸۰ انتخاب شده است). نتایج به دست آمده تطابق خوبی با نتایج مرجع [۱۶] در مدل‌سازی منبع حرارتی و همچنین رفتار حرارتی ماده در اثر تابش پرتو لیزر نشان می‌دهد. در انجام تحلیل

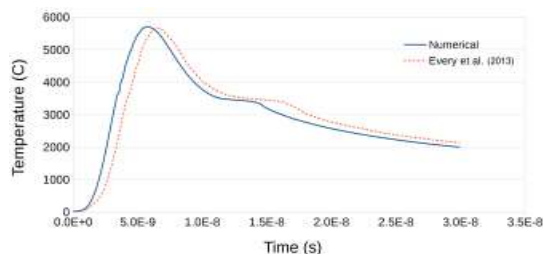
۱۰ میلی‌ژول را نشان می‌دهد و تشکیل هم‌زمان این موج‌ها در داخل قطعه را تأیید می‌کند.



شکل ۷ میدان فراصوتی ایجادشده در زمان ۶۴۰ نانوثانیه پس از تابش لیزر با توان ۱۰ میلی‌ژول و خیزپالس ۵ نانوثانیه

همان‌طور که در شکل ۷ مشاهده می‌شود، موج طولی با زاویه تقریبی ۶۰ درجه و موج عرضی با سرعتی کمتر و شدتی بیشتر با زاویه تقریبی ۳۰ درجه نسبت به خط عمود در حال انتشار است. موج پیشرو موجی است که از نقطه تقاطع موج طولی با سطح آغاز می‌شود و امتداد آن با موج عرضی مماس می‌شود. موج ریلی نیز که با سرعتی کمتر از سرعت موج برشی در روی سطح جسم انتشار می‌یابد، در شکل ۷ مشاهده می‌شود.

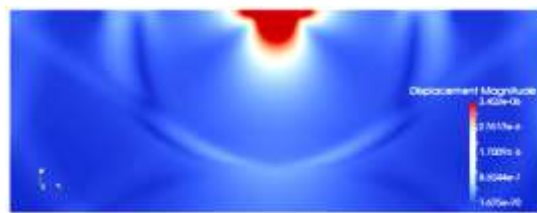
تغییرات درجه حرارت به صورت تابعی از زمان برای نقطه ۲ از جسم در زیر مرکز محل تابش لیزر ۱۰ mJ با حداکثر توان ۲۲۸ MW/cm<sup>2</sup> و چگالی انرژی حداکثر ۲۵۴۰۰ J/m<sup>2</sup>، یکی در روی سطح و دیگری در عمق ۴۷۶ نانومتر زیر سطح استخراج و با نتایج عددی اوری و همکاران [16] مقایسه شد (شکل‌های ۸ و ۹).



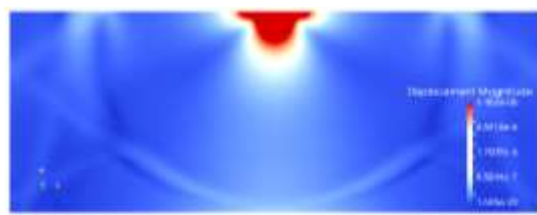
شکل ۸ تغییرات دما با زمان برای نقطه‌ای در بالای سطح و در مرکز تابش پرتو لیزر با توان ۱۰ میلی‌ژول و خیزپالس ۵ نانوثانیه



(ب)



(ج)



(د)

شکل ۱۱ نحوه انتشار موج فراصوتی ایجادشده در زمان الف) ns درون  $t=300$  ns (ب)  $t=574$  ns (ج)  $t=840$  ns (د)  $t=1052$  ns درون قطعه تنگستنی، برای لیزر Nd:YAG با توان  $3/9$  میلی ژول و خیزپالس ۵ نانوثانیه و شعاع لکه  $0/354$  میلی متر

شکل ۱۲ نمودار جابه جایی بر حسب زمان برای نقطه ای در کف قطعه و در مرکز تابش پرتو لیزر را نشان می دهد. از زمان شلیک پرتو لیزر تا لحظه  $t=574$  ns منحنی افقی است و جابه جایی تقریباً صفر است. با توجه به اینکه سرعت موج طولی بیشتر از سرعت موج عرضی است، اولین جابه جایی نمودار که تقریباً در لحظه  $t=574$  ns مشاهده می شود، مربوط به رسیدن موج طولی به کف قطعه است. شکستگی دوم نمودار، رسیدن موج عرضی به کف قطعه را نشان می دهد.

حرارتی، بعضی خواص ماده مستقل از دما فرض شده است که این امر می تواند دلیل اختلاف اندکی باشد که در شکل ۹ دیده می شود.

شکل ۱۰ توزیع حرارت در منطقه لیزر در زمان ۱۱۸۰ نانوثانیه پس از تابش لیزر را نشان می دهد. همان طور که در شکل ۱۰ دیده می شود، منطقه متأثر از حرارت، به سرعت گرمای خود را از دست می دهد و دمای آن در عرض ۱۱۷۴ نانوثانیه از  $5692$  درجه سانتی گراد به  $309$  درجه سانتی گراد می رسد.



شکل ۱۰ توزیع حرارت در منطقه تابش لیزر ۱۱۸۰ نانوثانیه پس از شلیک لیزر با توان  $10$  میلی ژول و خیزپالس  $5$  نانوثانیه

برای مقایسه نتایج مکانیکی با داده های تجربی ریشه و همکاران [15] از لیزری با توان کمتر از  $3/9$  میلی ژول استفاده و نحوه انتشار موج فراصوتی حاصل از انبساط آبی سطح استخراج شد. شکل ۱۱ انتشار این موج را در داخل قطعه ای از زمان  $300$  تا  $1052$  نانوثانیه پس از شلیک پرتو لیزر نشان می دهد. شکل های ۱۱-ب و ۱۱-د به ترتیب مربوط به لحظه رسیدن موج طولی و عرضی به کف قطعه هستند.



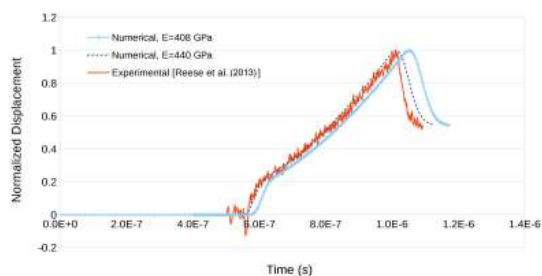
(الف)

محدود و با استفاده از حل‌کننده کد-استر به صورت دوبعدی مدل شد و رفتار حرارتی ماده و همچنین انتشار موج فراصوتی حاصل از تابش یک پرتو لیزر Nd:YAG با طول موج ۵۳۲ نانومتر، خیزپالس ۵ نانوثانیه و شعاع لکه ۰/۳۵۴ میلی‌متر مطالعه شد. در روش اجزای محدود، زمان محاسبات فرایندهای پیچیده بسیار زیاد است و بدین لحاظ یافتن مقدار مورد نیاز اندازه اجزا برای داشتن کمترین زمان انجام محاسبات ضروری است. با توجه به اینکه در مطالعات پیشین، تحلیل حرارتی و مکانیکی برای حل مسئله فراصوت لیزری به صورت هم‌زمان و در یک مرحله گزارش شده است، در این تحقیق اندازه اجزای مورد نیاز برای انجام این تحلیل به صورت مجزا بررسی شد و با توجه به اختلاف زیاد مقادیر به دست آمده در تحلیل‌های حرارتی و مکانیکی، پیشنهاد شد که فراصوت لیزری و فرایندهای کوپل حرارتی مکانیکی مشابه، در ۲ مرحله و با اندازه گام‌زمانی و مش متفاوت برای هر یک از این تحلیل حل شود تا زمان انجام محاسبات کمتر شود.

همچنین، تطابق خوب نتایج تحلیل حرارتی و مکانیکی با داده‌های عددی و آزمایشگاهی موجود، مطمئن بودن حل‌کننده کد-استر در تحلیل اجزای محدود مسائل فراصوت لیزری را نشان داد. حل‌کننده کد-استر می‌تواند به عنوان حل‌کننده‌ای رایگان و غیرتجاری برای مدل‌سازی امواج فراصوتی با لیزر و فرایندهای مشابه مورد توجه و استفاده قرار گیرد.

### فهرست علائم

[B] <sup>T</sup>	ترانزاد تابع شکل
C	حداکثر سرعت موج در ماده
C <sub>0</sub>	ظرفیت گرمای ویژه در دمای اتاق
c <sub>L</sub>	سرعت موج طولی
C <sub>p</sub>	ظرفیت گرمای ویژه
C <sub>p</sub> (T)	تابع ظرفیت گرمای ویژه



شکل ۱۲ نمودار جابه‌جایی برحسب زمان برای نقطه‌ای در کف قطعه و در مرکز تابش لیزری با توان ۳/۹ میلی‌ژول و خیزپالس ۵ نانوثانیه

زمان رسیدن موج عرضی در تحلیل اجزای محدود ۱۰۵۲ نانوثانیه و در آزمایش‌های عملی ریشه و همکارانش [15] ۱۰۰۸ نانوثانیه است. زمان متناظر برای موج طولی ۵۷۴ نانوثانیه در مقابل ۵۶۰ نانوثانیه است. مقایسه نتایج، خطایی به میزان ۲/۵ درصد برای موج طولی و ۴/۴ درصد برای موج عرضی را در محاسبات اجزای محدود نشان می‌دهد. برای مدول یانگ فلز تنگستن در مراجع مختلف اعداد متفاوتی داده شده است. در مرجع [36]، مدول یانگ اندازه‌گیری شده برای تنگستن توسط گربریچ و همکاران،  $407 \pm 87/8$  گیگاپاسکال گزارش شده است. بنابراین تحلیل مکانیکی با مدول یانگ‌های مختلف تکرار و مشاهده شد که با مدول یانگ ۴۴۰ گیگاپاسکال، نتایج با داده‌های آزمایشگاهی مرجع [۱۵] مطابقت بهتری دارد. بنابراین، یکی از علل اختلاف نتایج، ممکن است تفاوت مدول یانگ استفاده شده برای تنگستن در انجام محاسبات اجزای محدود با مقدار واقعی آن در آزمایش باشد. همچنین، تطابق خوب نتایج، قابلیت حل‌کننده کد-استر برای تولید امواج فراصوتی حاصل از تابش پرتو لیزر و صحت مدل‌سازی مکانیکی فراصوت لیزری را تأیید می‌کند.

### نتیجه‌گیری

فراصوت لیزری در رژیم دما-ارتجاعی به روش اجزای

	$T_m$	نقطه ذوب ماده	$[C_p]$	ماتریس ظرفیت گرمایی ویژه
	$U$	جابجایی	$c_T$	سرعت موج عرضی
	$\{U\}$	بردار جابجایی	$[D]$	ماتریس ماده
	$\{\dot{U}\}$	بردار شتاب	$E$	انرژی پالس لیزر
	$x$	امتداد طول قطعه	$f(x)$	توزیع فضایی پرتو لیزر
	$y$	راستای عمق	$\{F_{ext}\}$	بردار نیروی خارجی
	$Y$	مدول یانگ	$f_{max}$	حداکثر فرکانس موج
	$\alpha$	ضریب انبساط حرارتی خطی	$g(t)$	توزیع زمانی پرتو لیزر
	$\{\epsilon_0\}$	بردار کرنش حرارتی	$h$	ضخامت قطعه
	$\mu$	ثابت لامه	$k$	رسانندگی گرمایی
	$\rho$	چگالی	$[K]$	ماتریس سفتی
	$\nu$	ضریب پواسون	$[K_T]$	ماتریس رسانندگی گرمایی
	$\lambda$	ثابت لامه	$L_e$	اندازه جزء
	واژه نامه		$L_f$	گرمای نهان ذوب
			$[M]$	ماتریس جرم
Laser ultrasonics	فراصوت لیزری		$\{p_1\}$	بردار شار حرارتی
Thermoelastic	دما-ارتجاعی		$\{p_2\}$	بردار منبع حرارتی
Ablation	فرسایشی		$Q$	چگالی انرژی منبع حرارتی
Shadow method	روش سایه		$R$	ضریب انعکاس سطح
Damping	میرایی		$r_0$	شعاع لکه لیزر
Mass matrix	ماتریس جرم		$t$	زمان
Increment size	گام زمانی		$t_0$	زمان خیز پالس لیزر
Explicit	صریح		$T$	دما
Head wave	موج پیشرو		$\{T\}$	بردار دما
Rayleigh wave	موج ریلی		$\{\dot{T}\}$	بردار نرخ افزایش دما

## مراجع

1. Monchalain, J. P., "Laser-Ultrasonics: Principles and Industrial Applications", in: *Ultrasonic and Advanced Methods for Nondestructive Testing and Material Characterization*, chapter 4, edited by Chen, C. H., World Scientific, New Jersey, pp. 79-115, (2007).
2. Stratoudaki, T., Edwards, C., Dixon, S. and Palmer, S. B., "The role of epoxy resin in the mechanism of laser generated ultrasound in carbon fiber reinforced composites", *Proceedings of SPIE 5046*

- Conference on Nondestructive Evaluation and Health Monitoring of Aerospace Materials and Composites II, pp. 89-98, Bellingham, WA, USA, (2003).
3. Davies, S. J., Edwards, C., Taylor, G. S., and Palmer, B. P., "Laser-generated ultrasound: its properties, mechanisms and multifarious applications", *Journal of Physics D: Applied Physics*, Vol. 26, No. 3, pp. 329-348, (1993).
  4. Ledbetter, H. M., and Moulder, J. C., "Laser-induced Rayleigh waves in aluminum", *Journal of Acoustical Society of America*, Vol. 65, No. 3, pp. 840-842, (1979).
  5. Viertl, J. R. M., "Frequency spectrum of laser-generated ultrasonic waves", *Journal of Applied Physics*, Vol. 51, No. 1, pp. 805-807, (1980).
  6. Rudd, M. J., "Ultrasonic nondestructive evaluation using laser transducers", *Review of Progress in Quantitative Nondestructive Evaluation Library of Congress Cataloging in Publication Data*, Vol. 2A, pp. 1763-1782, (1983).
  7. Aindow, A. M., Dewhurst, R. J., Palmer, S. B., and Scruby, C. B., "Laser-based non-destructive testing techniques for the ultrasonic characterization of subsurface flaws", *NDT International*, Vol. 17, No. 6, pp. 329-335, (1984).
  8. Hutchins, D. A., Young, R. P., and Ungar, J., "Laser-Generated ultrasonic waves for the investigation of porous solids", *Ultrasonic Methods in Evaluation of Inhomogeneous Materials NATO ASI Series*, Vol. 126, pp. 353-365, (1987).
  9. Dewhurst, R. J., and Shan, Q., "Through-transmission ultrasonic imaging of sub-surface defects using non-contact laser techniques", *Optics and Lasers in Engineering*, Vol. 16, pp. 163-178, (1992).
  10. Royer, D., and Chenu, C., "Experimental and theoretical waveforms of Rayleigh waves generated by a thermoelastic laser line source", *Ultrasonics*, Vol. 38, pp. 891-895, (2000).
  11. Clorennec, D., Royer, D., and Walaszek, H., "Nondestructive evaluation of cylindrical parts using laser ultrasonics", *Ultrasonics*, Vol. 40, pp. 783-789, (2002).
  12. Karabutov, A., Devichensky, A., Ivochkin, A., and Lyamshev, M., "Laser Ultrasonic Diagnostics of Residual Stress", *Ultrasonics*, Vol. 48, pp. 631-635, (2008).
  13. Wu, K. T., Jen, C.K., Kobayashi, M., and Blouin, A., "Integrated Piezoelectric Ultrasonic Receivers for Laser Ultrasound in Non-destructive Testing of Metals", *Journal of Nondestructive Evaluation*, Vol. 30, No. 1, pp. 1-8, (2011).
  14. Pei, C., Demachi, K., Zhu, H., Fukuchi, T., Koyama, K., and Uesaka, M., "Inspection of Cracks Using Laser-Induced Ultrasound with Shadow Method: Modeling and Validation", *Optics & Laser Technology*, Vol. 44, pp. 860-865, (2012).
  15. Reese, S. J., Utegulov, Z. N., Farzbod, F., Schley, R. S., and Hurley, D. H., "Examination of the epicentral waveform for laser ultrasound in the melting regime", *Ultrasonics*, Vol. 53, pp. 799-802,

- (2013).
16. Every, A. G., Utegulov, Z. N., and Veres, I. A., "Laser Thermoelastic Generation in Metals above the Melt Threshold", *Journal of Applied Physics*, Vol. 114, No. 20, pp. 203508, (2013).
  17. Wang, J. S., Cheng, Y., Xu, X. D., and Liu, X. J., "Laser-Ultrasonic Investigation on Lamb Waves in Two-Dimensional Phononic Crystal Plates", *International Journal of Thermophysics*, Vol. 36, No. 5-6, pp. 1195-1201, (2015).
  18. Qiu, Q., and Lau, D., "The sensitivity of acoustic-laser technique for detecting the defects in CFRP-Bonded concrete systems", *Journal of Nondestructive Evaluation*, Vol. 35, (2016).
  19. Ruipeng, G., Haitao, W., and Jianyan, Z., "Non-contact detection of low carbon steel using laser generated ultrasound at high temperature", *Optik*, Vol. 136, pp. 536-542, (2017).
  20. Casalino, G., Moradi, M., Moghadam, M. K., Khorram, A., and Perulli, P., "Experimental and numerical study of AISI 4130 steel surface hardening by pulsed Nd: YAG laser", *Materials*, Vol. 12, 3136, (2019).
  21. Moradi, M., Moghadam, M. K., Shamsborhan, M., Beiranvand, Z. M., Rasouli, A., Vahdati, M., Bakhtiari, A. and Bodaghi, M., "Simulation, statistical modeling, and optimization of CO2 laser cutting process of polycarbonate sheets" *Optik – International Journal for Light and Electron Optics*, Vol. 225, 164932, (2020).
  22. Ji, B., Zhang, Q., Cao, J., Zhang, B. and Zhang, L., "Delamination detection in bimetallic composite using laser ultrasonic bulk waves", *Applied Sciences*, Vol. 11, 636, (2021).
  23. Liu, P., Nazirah, A. W., and Sohn, H., "Numerical simulation of damage detection using laser-generated ultrasound", *Ultrasonics*, Vol. 69, pp. 248-258, (2016).
  24. Zhang, K., Zhou, Z., Zhou, J., Sun, G., "Characteristics of laser ultrasound interaction with multi-layered dissimilar metals adhesive interface by numerical simulation", *Applied Surface Science*, Vol. 353, pp. 284-290, (2015).
  25. Zhou, Z., Zhang, K., Zhou, J., Sun, G., and Wang, J. "Application of laser ultrasonic technique for non-contact detection of structural surface-breaking cracks", *Optics & Laser Technology*, Vol. 73, pp. 173-178, (2015).
  26. Dai, Y., Xu, B. Q., Luo, Y., Li, H., and Xu, G. D., "Finite element modeling of interaction of laser-generated ultrasound with a surface-breaking notch in an elastic plate", *Optics & Laser Technology*, Vol. 42, pp. 693-697, (2010).
  27. Li, C., Li, S., Guan, G., Wei, C., Huang, Z., and Wang, R. K., "A comparison of laser ultrasound measurements and finite element simulations for evaluating the elastic properties of tissue mimicking phantoms", *Optics & Laser Technology*, Vol. 44, pp. 866-871, (2012).
  28. Liu, P., Nazirah, A. W., and Sohn, H., "Numerical simulation of damage detection using laser-generated ultrasound", *Ultrasonics*, Vol. 69, pp. 248-258, (2016).

29. Arias, I., and Achenbach, J. D., "A model for the ultrasonic detection of surface-breaking cracks by the scanning laser source technique", *Wave Motion*, Vol. 39, No. 1, pp. 61-75, (2004).
30. Wang, J., Shen, Z., Xu, B., Ni, X., Guan, J., and Lu, J., "Numerical simulation of laser-generated ultrasound in non-metallic material by the finite element method", *Optics & Laser Technology*, Vol. 39, pp. 806-813, (2007).
31. Veres, I. A., Berer, T., and Burgholzer, P., "Numerical modeling of thermoelastic generation of ultrasound by laser irradiation in the coupled thermoelasticity", *Ultrasonics*, Vol. 53, pp. 141-149, (2013).
32. Every, A. G., Utegulov, Z. N., and Veres, I. A., "Pulsed laser generation of ultrasound in a metal plate between the melting and ablation thresholds", *AIP Conference Proceedings*, Vol. 1650, pp. 1350-1359, Boise, Idaho, USA, (2015).
33. Zhao, Y., Shen, Z., Lu, J., and Ni, X., "A finite element model for laser-induced leaky waves at fluid-solid interfaces", *Physical Letters A*, Vol. 370, pp. 104-109, (2007).
34. Liu, W., Ma, J., Kong, F., Liu, S., and Kovacevic, R., "Numerical modeling and experimental verification of residual stress in autogenous laser welding of high-strength steel", *Lasers in Manufacturing and Materials Processing*, Vol. 2, pp. 24-42, (2015).
35. Nezamdost, M. R., Esfahani, M. R. N., Hashemi, S. H., and Mirbozorgi, S. A., "Investigation of temperature and residual stresses field of submerged arc welding by finite element method and experiments", *International Journal of Advanced Manufacturing Technology*, Vol. 67, pp. 615-624, (2016).
36. Huang, H., Wu, Y. Q., Wang, S. L., He, Y. H., Zou, J., Huang, B. Y., and Liu, C. T., "Mechanical properties of single crystal tungsten microwhiskers characterized by nanoindentation", *Materials Science and Engineering A*, Vol. 523, pp. 193-198, (2009).





## Finite Element Modeling of Laser Ultrasonics Process in Thermoelastic Regime

Salman Shamsaei<sup>1</sup> Farhang Honarvar<sup>2\*</sup>

### 1. Introduction

In recent years, laser ultrasonic testing has found many applications in industry. In general, laser ultrasonics is used in either thermoelastic or ablation regime. If the laser power is lower than the material evaporation threshold, the regime is thermoelastic and if the laser power is sufficient for evaporation of the material, the regime is ablation. The advantage of the ablation regime over thermoelastic regime is that it produces stronger signals and makes it possible to inspect thick blocks and high-temperature parts. However, due to the small surface damage induced in ablation regime, its use is limited to certain applications. In this paper, laser ultrasonics in thermoelastic regime was modeled by finite element method and the thermal behavior of the material due to laser beam radiation as well as the propagation of the generated ultrasonic wave was investigated. Due to long computational time in laser ultrasonics process, especially in inspection of thick components, and since the required element size and time increment is different for solving the thermal and mechanical aspects of the problem, these two sections were modeled separately. The effect of separating these two parts on the reduction of computation time was then examined. First, the element size and time increment required to solve the thermal problem were found by repeating the analysis. These results were then used as input load to mechanical analysis. The results were validated by comparison with other numerical and laboratory results. Furthermore, the capability of the Code-Aster computational solver in modeling the laser ultrasonics process in thermoelastic regime was also evaluated.

### 2. Numerical Simulations

Code-Aster solver was used to perform finite element calculations. The calculations were divided into two parts: thermal and mechanical. Unlike the common method, a different meshing was used for each of the two analyses. In the first part, the laser pulse radiation on the body surface was modeled and the temperature distribution in the specimen was calculated as a function of time.

In the second part, the results of thermal analysis were used as input load to the mechanical analysis and node displacements due to instantaneous surface expansion and ultrasonic wave formation were examined dynamically. A Nd: YAG laser with 5 ns pulse rise time and 0.354 mm spot radius were used in finite element calculations. Two-dimensional calculations were performed on a piece of tungsten with dimensions of  $3.12 \times 8 \text{ mm}^2$ . Due to the symmetry of the test piece along its horizontal axis, only half of the specimen was modeled. Element size is of particular importance in finite element analysis and convergence is achieved when the elements size is sufficiently small. The optimum value is usually found by repeating the analysis while gradually reducing the elements size. In our case, the analysis was repeated several times with different element sizes and the results converged when the elements size in the area close to laser spot reached 100 nm (Figure 1). For the areas away from the laser, the analysis was also repeated several times and each time, the elements were made slightly larger. It was observed that with elements as small as 30  $\mu\text{m}$  or less, the results remain unchanged.

Mechanical analysis does not require such a fine mesh. As Figure 2 shows, by reducing the elements size to 15  $\mu\text{m}$ , the time it takes for the transverse wave to reach at the bottom of the specimen gradually increases and then remains constant. Therefore, this part of the analysis was carried out with an element size of 15  $\mu\text{m}$ .

Another factor affecting the accuracy and computation time is time increment. The higher the laser energy density, the smaller the time increment that is required to solve the problem. For the 3.9 mJ laser, the results converged when using a time increment of 100 ps. Calculations for the 10 mJ laser were performed with a time increment of 50 ps. The cooling step was repeated with the larger time step than the calculated value and no change was observed in results; therefore, time increment of 11.5 ns was used in this step. Mechanical analysis was performed explicitly with a time step of 2 ns and propagation of ultrasonic waves for 1180 ns after laser irradiation was modeled.

<sup>1</sup>. PhD Candidate, NDE Lab, Faculty of Mechanical Engineering, K. N. Toosi University of Technology, Tehran, Iran.

<sup>2\*</sup>. Corresponding author. Professor, NDE Lab, Faculty of Mechanical Engineering, K. N. Toosi University of Technology, Tehran, Iran. Email: honarvar@kntu.ac.ir

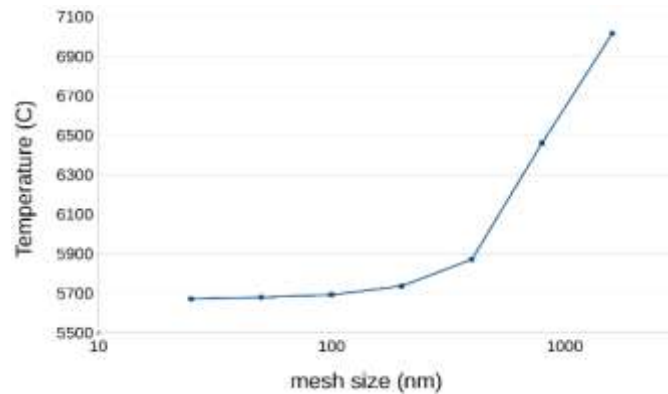


Figure 1. Relationship between elements size (close to laser spot) with temperature at a point above the surface and in the center of the laser beam. The pulse energy is 10 mJ and pulse rise time is 5 ns.

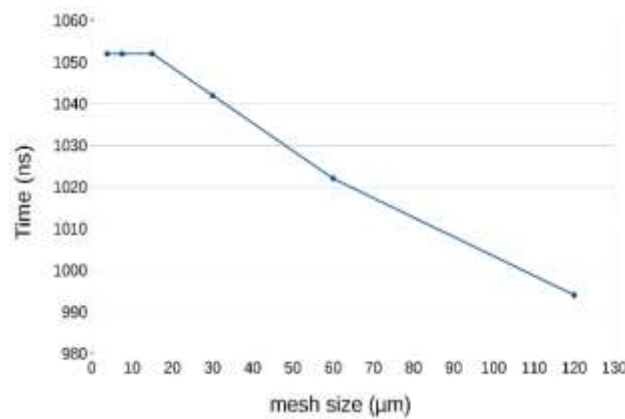


Figure 2. Relationship between element size and the time it takes for the transverse wave to reach the bottom of the specimen in mechanical analysis

Thermal and mechanical computation times with Ubuntu operating system, 2.7 GHz  $\times$  8 core i7-6700HQ processor and 16 GB of RAM were 47 and 68 minutes, respectively. The use of different mesh sizes and different time increments for each of thermal and mechanical analyses made the wave propagation problem to be executable in a short time. For comparison, the thermal and mechanical calculations were repeated with identical time steps and mesh sizes. The computation time turned to become several times longer in this case. Thermal analysis took two hours and seven minutes to be completed and mechanical analysis took 11 hours and 29 minutes.

### 3. Results and Discussion

Variations of temperature as a function of time at a point on the surface and in the center of the laser spot were extracted for a laser with a pulse energy of 10 mJ and a maximum power of 228 MW/cm<sup>2</sup> and compared with numerical results of Every et al. (2013) (Figure 3).

As shown in Figure 3, the results are in good agreement with those reported by Every et al. (2013). To compare our results for the mechanical part of the problem with experimental results of Reese et al. (2013), a laser with a pulse energy of 3.9 mJ was modeled and ultrasonic waves resulting from instantaneous expansion of the surface were extracted. Figure 4 shows the time-displacement diagram for a point at the bottom of the specimen along the laser beam. From the time the laser beam hits the surface until  $t = 574$  ns, the curve is horizontal, and the displacement is almost zero. Since longitudinal wave velocity is higher than transverse wave velocity, the initial displacement observed at approximately  $t = 574$  ns is due to the arrival of the longitudinal wave at the bottom surface of the test piece. The peak of the diagram also corresponds to the arrival of the transverse wave at the bottom surface. The transverse wave arrival time is 1052 ns in our simulations and 1008 ns in the practical experiments of Reese et al. (2013). The corresponding time for the arrival of longitudinal wave is 574 ns in finite element model vs. 560 ns in experiments.

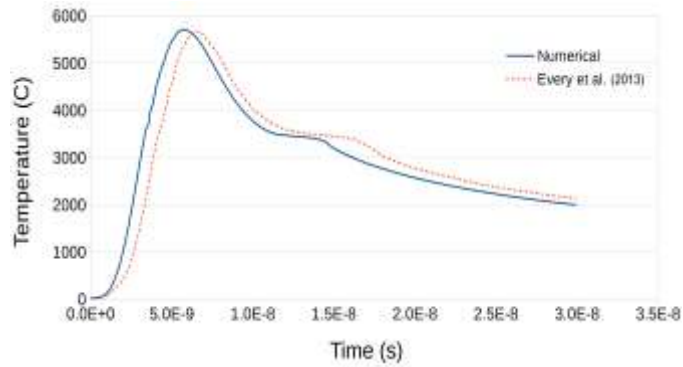


Figure 3. Variations of temperature as a function of time at a point on the surface and in the center of the laser spot were extracted for a laser with a pulse energy of 10 mJ and a pulse rise time of 5 ns

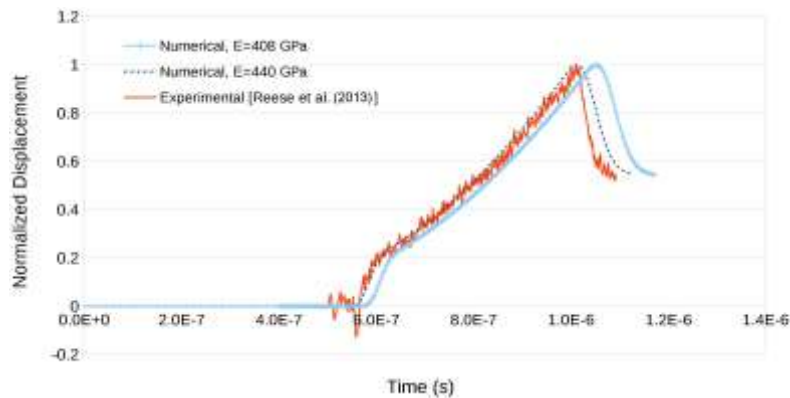


Figure 4. Time-displacement curves for a point at the bottom surface of the specimen along the laser beam. The laser pulse energy is 3.9 mJ and pulse rise time is 5 ns.

Comparison of the results shows an error of 2.5% for the longitudinal wave and 4.4% for the transverse wave. Different values have been used in references for Young's modulus of tungsten. The Young's modulus measured for tungsten by other researchers is reported to be  $407 \pm 87.8$  GPa. Therefore, the mechanical analysis was repeated with different Young's moduli and it was observed that with a Young's modulus of 440 GPa, the simulation results turn out to be in good agreement with experimental results reported by Reese et al. (2013). Therefore, it is likely that one of the reasons for the difference between our simulation results with experiments is the value of the Young's modulus used for tungsten. Good agreement between our numerical results with experiments confirms the capability of the Code-Aster solver in modeling ultrasonic waves generated by laser radiation as well as the accuracy of mechanical modeling of laser ultrasonics.

#### 4. Conclusion

Laser ultrasonics in the thermoelastic regime was

modeled in 2D using Code-Aster solver and the thermal behavior of the material as well as the generation of ultrasonic waves by a Nd: YAG laser beam with a wavelength of 532 nm, pulse rise time of 5 ns, and spot radius of 0.354 mm were studied. In the finite element method, the computation time of complex processes is very high and therefore, it is necessary to find the optimized size of elements that results in shortest computation time. In previous studies, thermal and mechanical analyses in solving the problem of laser ultrasonics have been carried out simultaneously and in one step. In this study, the size of the elements required to perform these two analyses were chosen to be different. Due to large differences in element sizes required for thermal and mechanical analyses, it is suggested that laser ultrasonics and similar thermo-mechanical coupling processes be modeled in two stages with different time increments and mesh sizes. This would lead to significant reduction of computation time.

Moreover, good agreement of thermal and mechanical analyses results with both numerical

and experimental results available in the literature indicates that the Code-Aster solver is a good choice for finite element analysis of laser ultrasonics problems. Code-Aster solver is free and non-commercial.